

第二屆和平利用原子能國際會議文獻

原子核物理学及 仪器设备

1

中国科学院原子核科学委员会編輯委員會編

科学出版社出版

原子核物理学及仪器设备(1)

中国科学院原子核科学委员会编辑委员会编

*

科学出版社出版 (北京朝阳门大街 117 号)
北京市书刊营业业登记证字第 061 号

中国科学院印刷厂印刷 新华书店总经售

*

1959 年 11 月第 一 版 书号：1981 字数：70,000
1959 年 11 月第一次印刷 开本：787×1092 1/16
(京) 0001—3,000 印张：2 3/4 插页：1

定价：0.39 元

目 录

- | | | |
|--------|------------------------------|--------|
| P/1374 | 富拉斯卡蒂国立实验室的 1.1 千兆电子伏电子同步加速器 | (1) |
| P/1400 | 在气流中的扩散精馏 | (15) |
| P/1632 | U-238 速裂变中每次裂变所放射的中子数 | (25) |
| P/1633 | U-235 裂变中发射的快速中子的角分布 | (28) |
| P/1813 | 辐射俘获反应中 γ 射线通量的测量 | (32) |
| P/2037 | 光致核分裂时碎片的角分布 | (35) |
| P/2333 | 将原子核靶混合到原子核乳胶中的微毛细管技术 | (40) |

富拉斯卡蒂國立實驗室 1100 兆電子伏 電子同步加速器工作現狀和科學計劃[†]

愛琴諾 (M. Ageno), 阿爾貝立奇 (A. Alberigi), 阿曼 (F. Amman),
那貝狄尼 (C. Bernardini), 柯拉柴 (G. Corazza), 狄阿姆勃立尼 (G. Diambrini),
奇哥 (G. Ghigo), 潘雪可 (E. Persico), 潘葛利西 (M. Puglisi),
奎西亞 (I. F. Quercia), 奎查利 (R. Querzoli), 塞西度蒂 (G. Sacerdoti),
塞爾微尼 (G. Salvini), 塞那 (G. Sanna), 斯卡拉福尼 (G. Scaccia Scarafoni),
孙那 (P. G. Sona), 托雪 (R. Toschi), 杜林 (A. Turrin)

§ 1. 引 言

下面所描述的電子同步加速器能量的最大值為 1.1 千兆電子伏。
計劃和設計是屬於 “Comitato Nazionale per le Ricerche Nucleari”。計劃是按照 “Istituto
Nazionale di Fisica Nucleare” 所長的建議着手的。

職 鐵	射頻和 電子學	真 空	注射器	理論組	液体 H ₂	建築和一 般技巧	行 政
阿曼 (Amman)	阿爾貝立奇 (Alberigi)	柯拉柴 (Corazza)	愛琴諾 (Ageno)	潘雪可 (Persico)	卡來立 (Careri)	陝西亞 (Cerchia)	愛哥斯蒂尼 (Agostini)
鮑洛那 (Bologna)	馬沙洛蒂 (Massarotti)	薛爾卡那 (Sircana)	皮柴立 (Bizzarri)	貝那狄尼 (Bernardini)	蒙叢蒂 (Monetti)	藍度 (Ladu)	
狄阿姆勃立尼 (Diambrini)	潘葛利西 (Puglisi)		柯泰蘭沙 (Cortellessa)	孙那 (Sona)	蒙泰拉蒂西 (Montelatici)	斯卡西亞 (Scaccia)	
奇哥 (Ghigo)	奎西亞 (Quercia)		奎查利 (Querzoli)	杜林 (Turrin)			
牟爾塔斯 (Murtas)							
塞西度蒂 (Sacerdoti)							
塞爾微尼 (Salvini)							
塞那 (Sanna)							
托雪 (Toschi)							

圖 1 現在工作的重新分配

* 本文由塞爾微尼報告。

† “第二屆和平利用原子能國際會議文獻”編號 A/CONF. 15/P/1374, 意大利, 原文為英文。

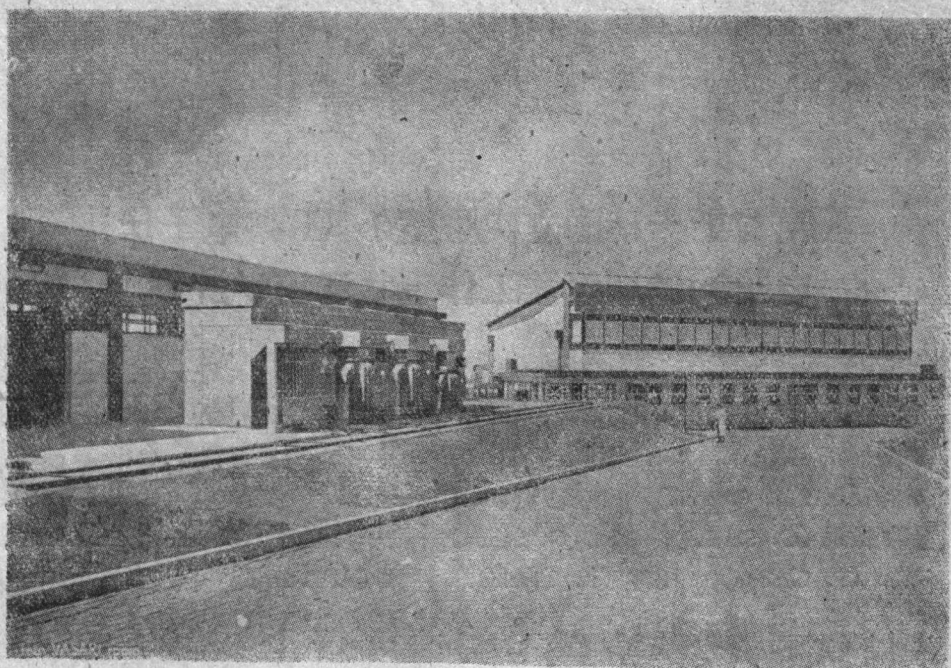


图 2 同步加速器大厅的正面图

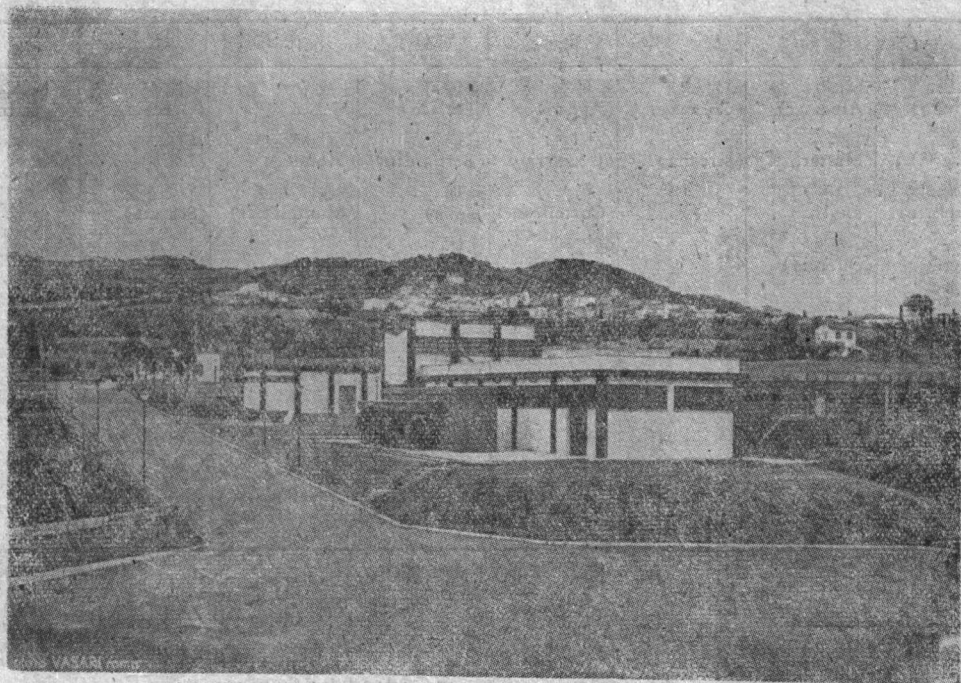


图 3 供电所(背景:富拉斯卡蒂)

为专门设计现在所做的工作是 1955 年初开始的。1953—1954 年的部分时间用于弱聚焦和强聚焦间的抉择，并在最大能量、科学兴趣及可动用基金间达到协调。

下面除描述机器外，也包含关于科学计划的一些评论。

§ 2. 我们的机器的一般特性

虽然假定机器至少达到 1.1 千兆电子伏，但下列基本数据是对最大能量 1 千兆电子伏而言的¹⁾：

终能量	： 1.0 千兆电子伏
最大磁感应	： $B = 9260$ 高斯
主轨道半径	： $R = 360$ 厘米
直线间隔数	： 4
直线间隔长度	： $L = 120.6$ 厘米
磁场指数	： $n = 0.61$
注射能量(总)	： $E_i = 2.5$ 兆电子伏
间隙的高度	： 8.6 厘米
极面宽度	： 22.7 厘米
注射器	： 在加压槽中的柯克洛夫脱-华尔东(Cockcroft-Walton)式
重复率	： 每秒 20 脉冲

同步加速器的建筑物和附属的实验室位于离罗马约 20 公里的富拉斯卡蒂。图 2 和图 3 是实验室两部分的外观。

§ 3. 磁铁和磁的量度

a) 磁铁是 C 形的，外面有真空室，它的一个截面如图 4 所示，图 5 是整个环的俯视图。

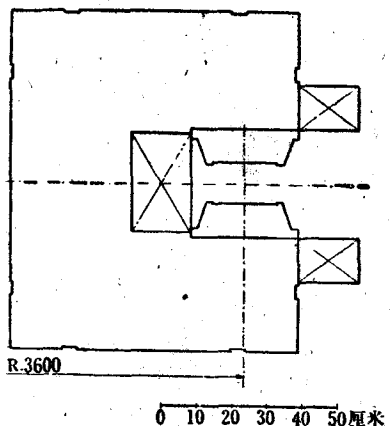


图 4 磁铁的径向截面

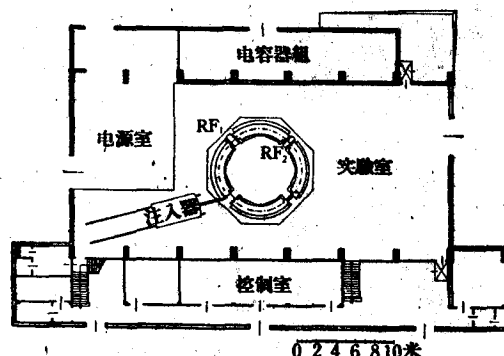


图 5 电子同步加速器及实验室的平面图

磁铁具有四个直线间隔，迭片是用阿雷耳荻特(araldite)胶粘剂胶合在一起的。

磁铁的结构详情表示在图 6,7,8,9 中，基本数据如下：

1) Report G. 19 of the Frascati Laboratories.

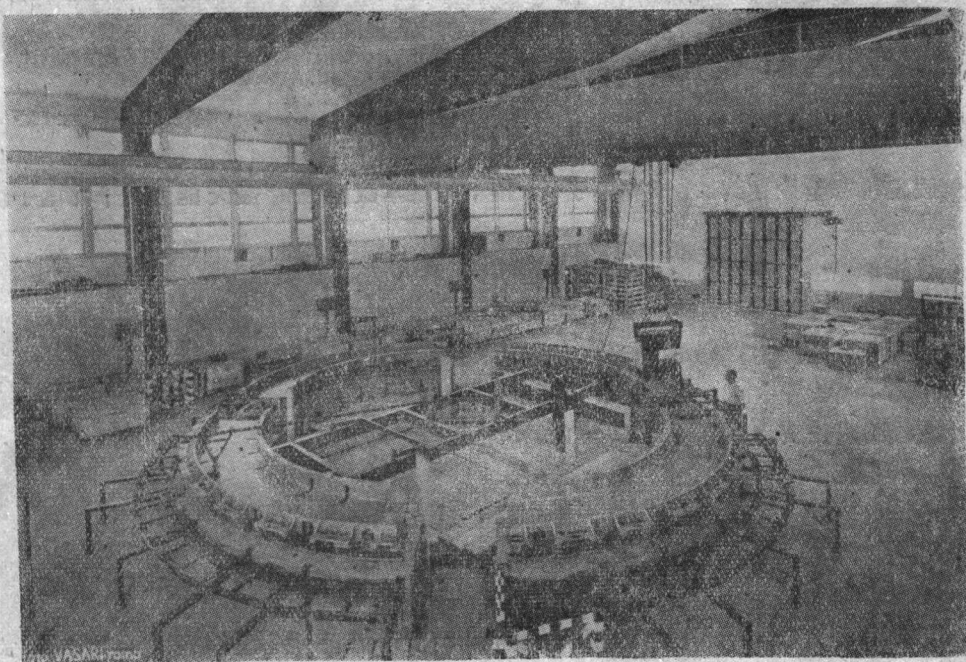


图 6 磁铁的钢底座(1957 年 9 月)。右边为硅钢块之一

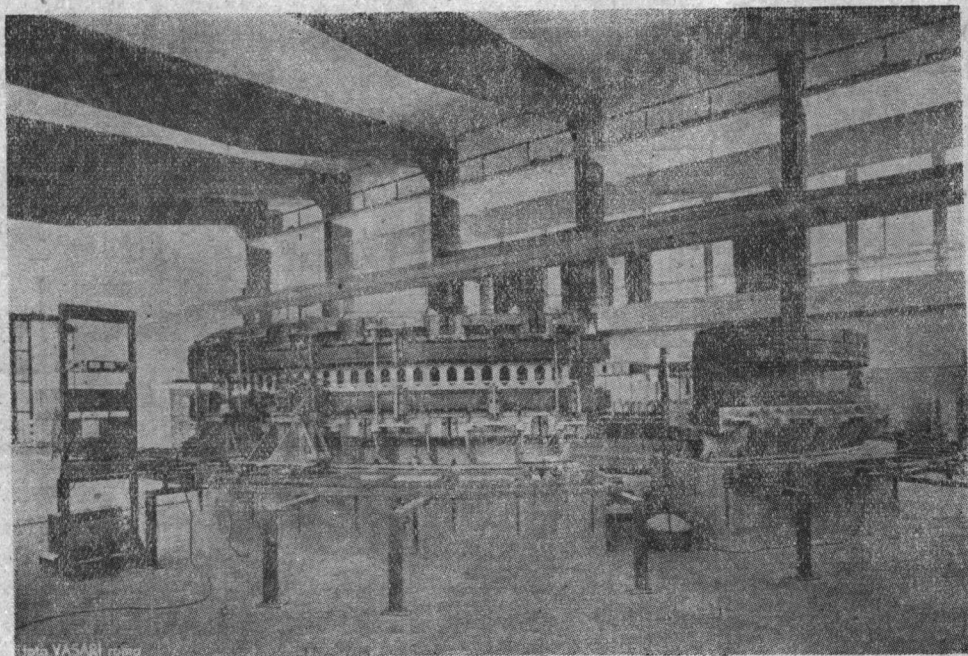


图 7 磁铁的装配(1957 年 11 月)

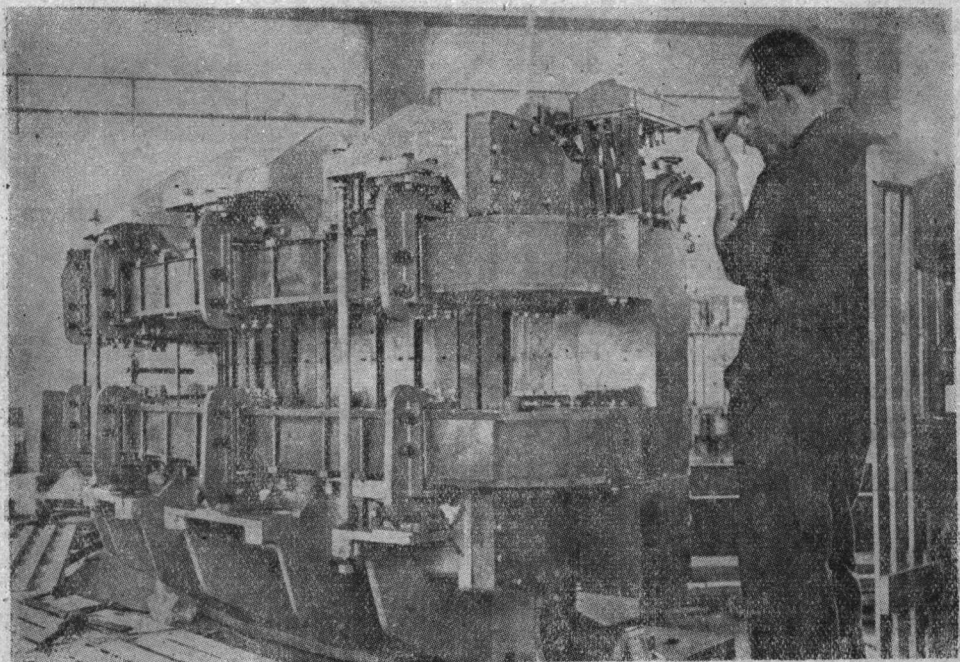


图 8 磁铁的装配。固定励磁线圈的冷却系统

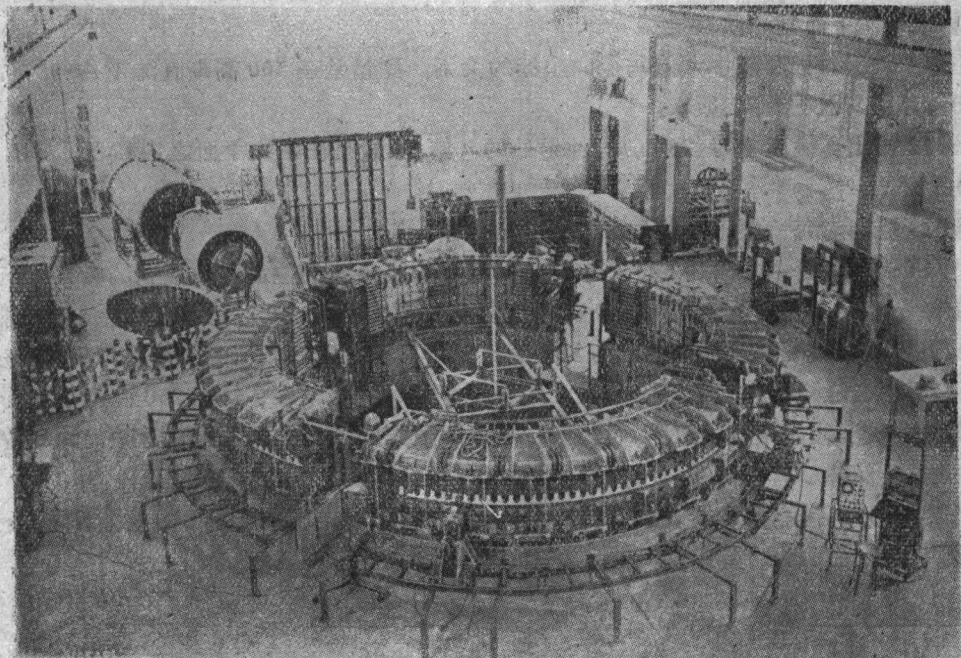


图 9 磁铁的全体外觀 (1958 年 4 月)。
背景：左——注射器；右——动力操纵台

SAP44/02

型式	: C 结构外有真空室
磁极	: 固结在 C 翼上, 可移动
间隙的高度	: 8.6 厘米
方位角结构	: 4 象限
铁重(近似)	: 9.3×10^4 公斤
每象限的匝数	: 12
铁迭片的牌号	: ARMCO DI-MAX19, 厚 0.35 毫米
间隙的磁感应强度	: 9260 高斯(在 1.0 千兆电子伏时)
在铁中的最大平均磁感	
应强度(近似)	: 14000 高斯(在 1.0 千兆电子伏时)
磁铁的感应量	: 18.5×10^{-3} 亨利
在空气中的最大能量	: 2.65×10^5 焦耳

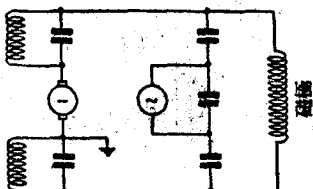


图 10 磁铁的电源

电子同步加速器的磁铁是用交流来激励的, 部分加有直流偏压。图 10 表励磁示意图。励磁的基本数据如下:

电源的频率(重复频率) : 20 週/秒

电流、电压、频率等的稳定性: 0.1%¹⁾

与磁铁并联的电容器组在 50

週秒时的千伏安额定值 : 10560 千伏安

电容器组的电容 : 3420 微法拉

b) 我們的一般計劃与弱聚焦机器的标准沒有很大的区别。当然, 用电子同步加速器来进行测量比用质子同步加速器困难, 然而我們发现在某些情形中它却更便于达到灵敏度和准确度的新水平。下面是一些結果:

图 11 给出磁极间隙中 n 值与径向坐标的关系。测量是在 500 高斯直流下作的。由此可以看出, 有用范围约为 11 厘米。

图 12 给出当满励磁时(23 高斯)注射处的 n 值。测量是在中央平面之内和之外取的(±1.5 厘米)。

图 13 给出对每一象限 n 值与方位角 θ 的关系。

图 14 表示对每一象限在 500 高斯直流时磁场中央平面的位置与方位角的关系。由于我們实验室的狄阿姆勃立尼博士所制的新仪器²⁾, 使得准确度达到 ±0.2 毫米的测量成为可能。

我們发展着校准线圈的一个颇为复杂的系统。图 15 示我們所设计的这种磁场梯度控制的一例, 其中校准线圈系沿着间隙分布。援引在图中的实验结果是约在 250 高斯下获得的。

我們的校准线圈系统的研究, 也包括在靠近间隙端的正确位置上用脉动颇大的电流(扩大线圈)来扩大间隙的有用面积的可能性。用扩大线圈的可能结果曾经报告过³⁾。

作为一般的评论, 必须說, 我們的测量技术大大倚賴于尖片的应用; 这些尖片曾被仔細地处理过, 以使它们成为可靠的探测器。

1) Ghigo, G. I. F. Quercia, *CERN Symposium* Vol. I, 475 (1956).

2) Diambrini, G. *CERN Symposium* Vol. I, 471 (1956).

3) Salvini, G. and Sanna, G. *CERN Symposium*, Vol. I, 458 (1956).

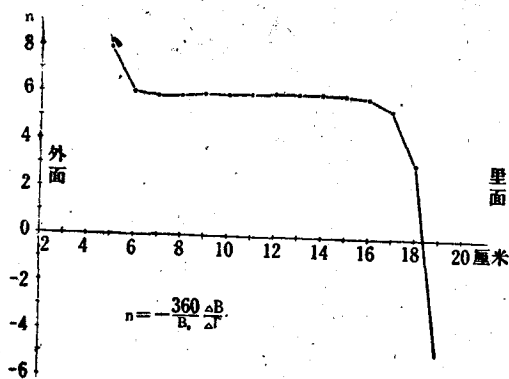


图 11 500高斯下在间隙中 n 值与径向坐标的关系

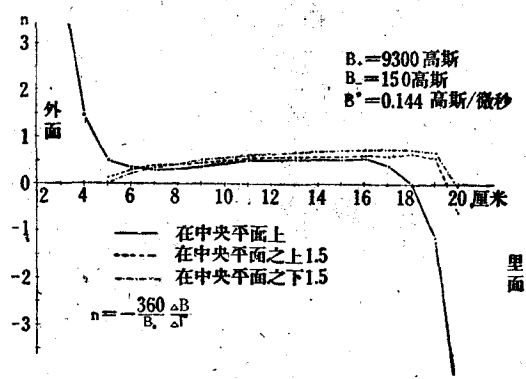


图 12 在23高斯满励磁时径向的量度

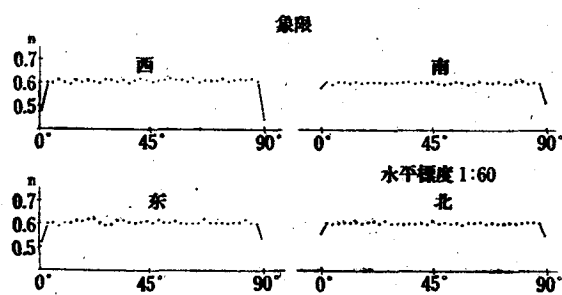


图 13 在4象限内500高斯直流时 n 的方位角量度

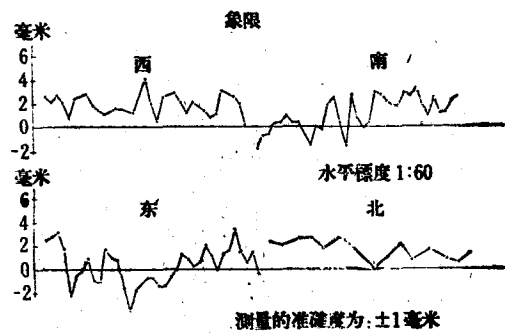


图 14 在500高斯时磁平面位置与方位角的关系

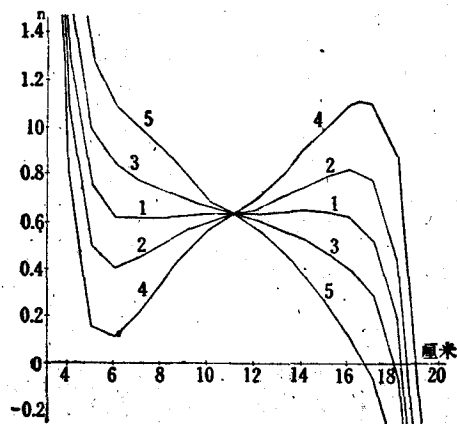


图 15 校准线圈效应

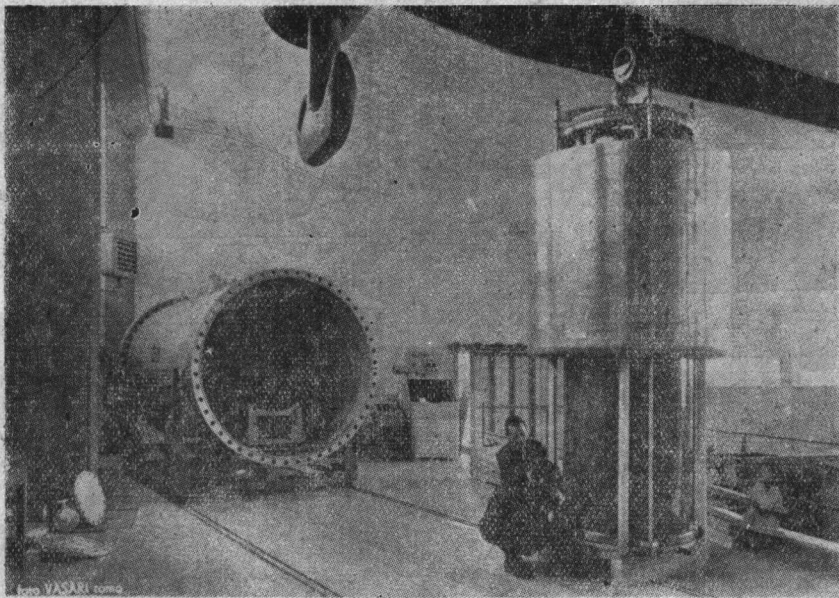


图 16 注射器、开槽和高电压装置

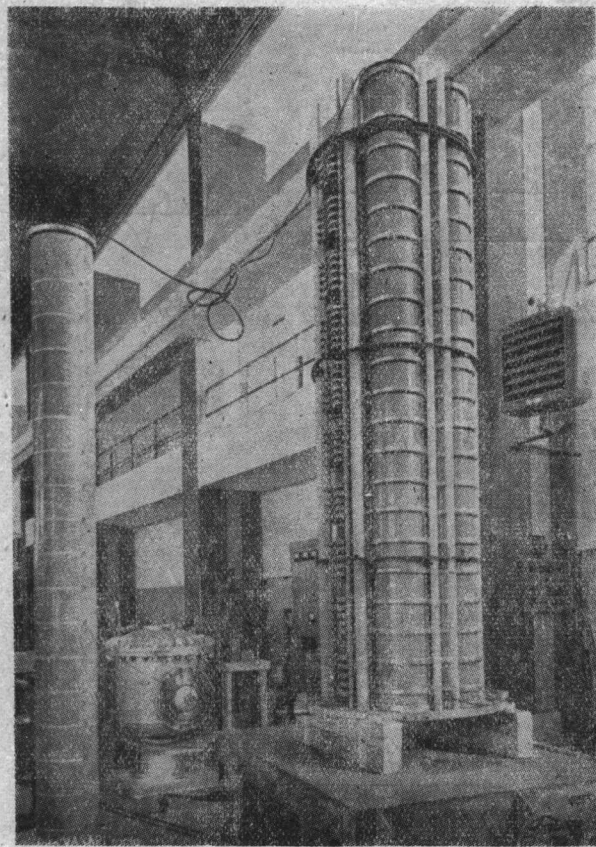


图 17 注射器、电容器和整流柱

§ 4. 注 射 器

注射器是柯克洛夫脱-华尔东式，具有固体整流器，其基本数据是¹⁾：

型式	在加压槽中的柯克洛夫脱-华尔东式
槽中气体压强	15 大气压
气体种类	氮和 CO ₂ 或弗里昂(Freon)%(約 10%)
槽的尺寸(近似的)长	5 米
宽	3.5 米
高	3.5 米
槽的材料	不锈钢
电子能量	2.5 兆电子伏(总)
最大电流	約 200 毫安
脉冲长度	从 1 到 10 微秒
电源频率	1000 频
电的结构	5 级 400000 伏, 韦斯泰利特(Westalite)整流器
波纹	数量级 2×10^{-4}
偏转器	静电式, 60 度
注射能量所需稳定性	0.2%

在注射处线束的角孔径： $\pm 3 \times 10^{-3}$ 弧度或较小

关于其他细节可参看图 16 和图 17.

§ 5. 射 频 系 统

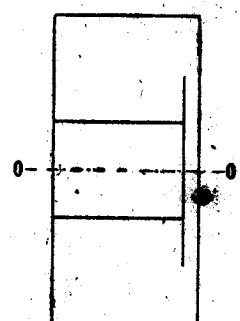
电子由位于磁铁的四个直线间隔中的两个谐振腔来加速。这些腔在 4 次谐波下振荡；第一腔运用于加速的第一阶段中，动能从 2 增加到约 8 兆电子伏，频率调制从 42.6 兆赫到 43.7 兆赫。图 18 表示出第一个腔的一个截面；尺寸以毫米计。

第二个腔仅能在一固定频率 43.7 兆赫及最大电压 50—60000 伏下调幅。系统的功率约为 60 千瓦。

两个腔都由功率放大器推动。第一个腔被真空室本身横过，第二个高功率腔不能容许任何电解质在间隙处，因此它将部分处于真空中，此外，第二个腔需要水冷和一个额外直流电压以避免倍谐(multi pacting)。

第二个腔的放大链包括下列各级：领先振荡器，缓冲级，激励级和末级。

头上二级是利用集中参数电路的通用的型式。它们的电子管的牌号分别为 QB3/300 和 QB5/1750。激励级和末级用分布参



0 10 20 30 40 50 厘米

图 18 第一个加速系统 (RF) 的略图。腔近似地为一绕 0—0' 轴的旋转体

1) The "Istituto Superiore di Sanità", where the project for this Injector was studied, cared also for the realization and setting of the same.

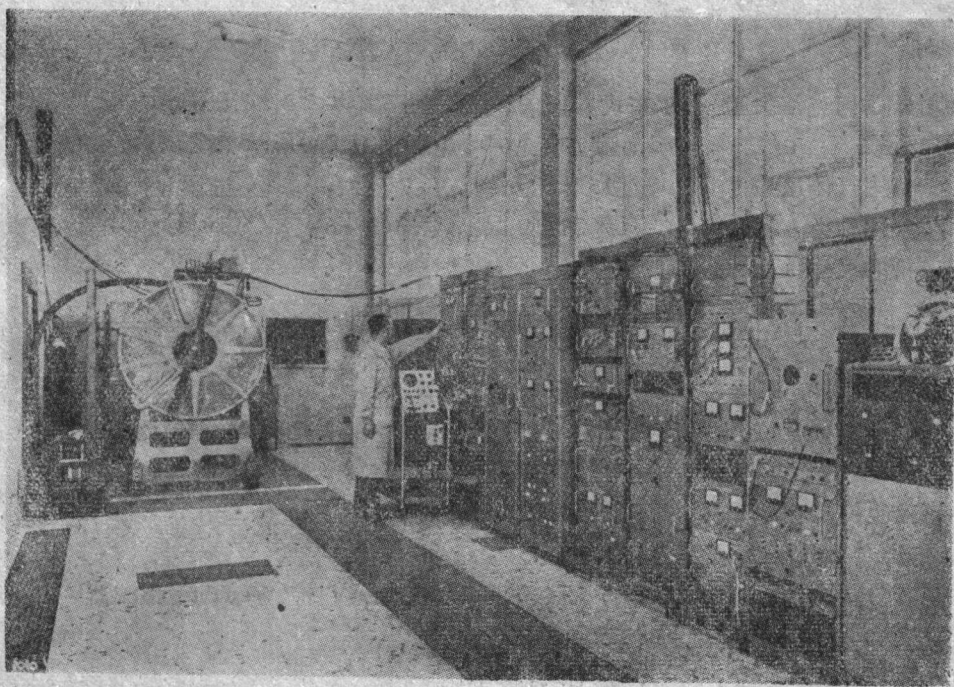


图 19 RF_1 腔带有电源及操纵台

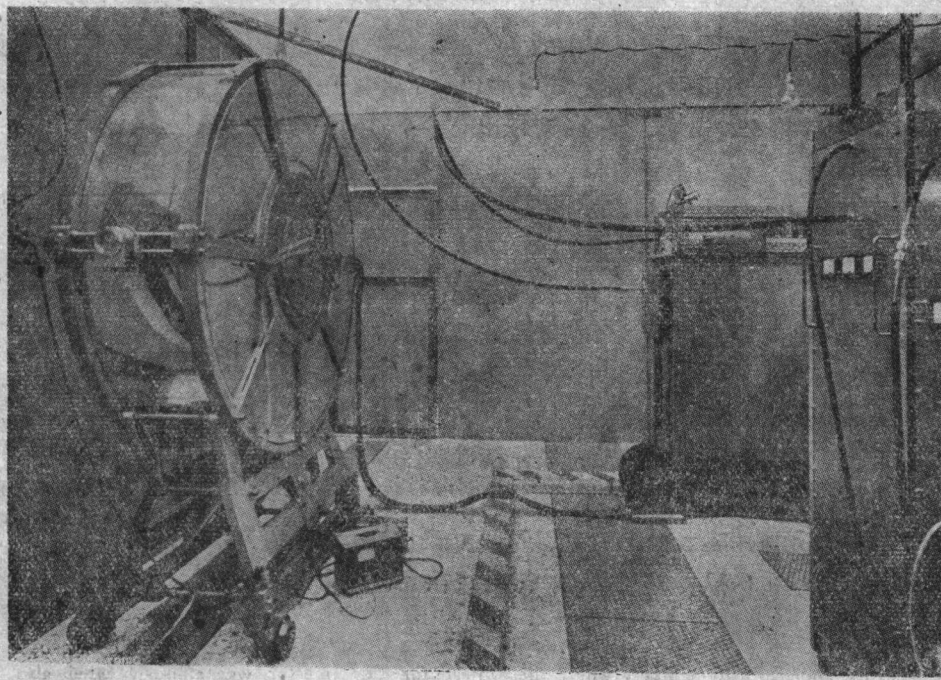


图 20 RF_2 腔

数的电路来装置，即是在屏极和阴极电路上的同轴导线。设计采用栅极接地式。电源整流器都是三相的。栅极和灯丝的极性是被稳定的。

第二个腔谐振器在同轴腔和径向腔之间有一个电磁铁结构。所以选择这一形式仅是由于谐振器的轴向总尺寸是被约束的。

所量得的 Ω 值约为 5000，而特性阻抗约为 50 欧姆。

图 19 表示 RF_1 腔、电源和操纵台。在图 20 中可以看到第二个 60000 伏的腔。

我们计算了由于电子的辐射损失在 RF_2 腔中所需的最大电压 $V^1_{\text{最大}}$ 。事实上，在电子同步加速器中循环着的束线的截面积随能量而增加，这主要是由于辐射损失的起伏^[6]。另一方面，在给定的射频系统处，所接受的同步加速器振荡的最大振幅是它的峰值电压的增函数。为了把电子束线维持在最高能量，所容许的同步加速器振荡的振幅 X_M 必须大于 $\langle \zeta^2 \rangle^{1/2}$ —— 束线的均方根振幅（半径）。

图 21 表示这个条件：图中清楚地表示出在现在的机器中 RF_2 腔至少应有 50000 伏的最大电压。

当然，在加速循环期间相继动作的合拍（基本同步 = M. S.）——即注射器，磁铁， RF_1 ， RF_2 间的时间调节——是最重要的^[2]。

假设基本同步在每一循环中，在准确的时刻做下列动作：

从注射器注入一束电子

调节 RF_1 的电源

作预定的 RF_1 的频率调制

调去 RF_1 的电源，调上 RF_2 的电源

作预定的 RF_2 的峰值电压的振幅调制

基本同步的动作对于追踪电子能量的瞬时值是方便的：这就是磁铁磁场的 B 值被选作工作基本同步时的独立变数以代替在其本身中的时间的理由。这容许在注射器周围的 dB/dt 的变化不导致在基本同步程序中的任何强制变化。

从场 B 到基本同步的讯息通过来自加偏压的尖片的脉冲；脉冲所需的时间准确度的数量级为 10^{-7} 秒。

§ 6. 真空系统和真空室

我们的真空室是用阿雷耳狄特和石英粉建造的，后者作为硬化剂^[3]。

真空室是一个颇为复杂的结构，它的特色之一是位于内面的 5/100 毫米厚的薄不锈钢片，这钢片用来避免在内表面上的电荷积集。

下面是真空室和真空系统的基本数据：

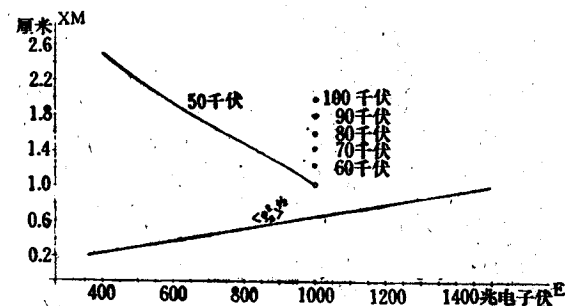


图 21 同步加速器振荡的极限振幅 X_M 与 RF 电源各种峰值的能量的关系；均方根辐射感应振幅 $\langle \zeta^2 \rangle^{1/2}$

1) Bernardini, C. Report T 29 of the Frascati Laboratories.

2) Alberigi, A., Lepri, F., Puglisi, M. and Quercia, I. F. Report R 12 of the Frascati Laboratories.

3) Corazza, G. Report Do 15 of the Frascati Laboratories.

每个轉动泵的容量	: 60 兆周/小时
終压強	: 10^{-5} — 10^{-6} 毫米水銀柱
真空室材料	: 阿雷耳狄特和石英
真空室的尺寸(外)	: 230 × 78 毫米
真空室壁厚度	: 11 毫米
扩散泵数	: 4
每一扩散泵的抽气速率	: 3000 升/秒
轉动泵数	: 4

我們的真空室有关結構方面的細节見图 22.

准备装入磁鐵中的两真空室块示于图 23 中。

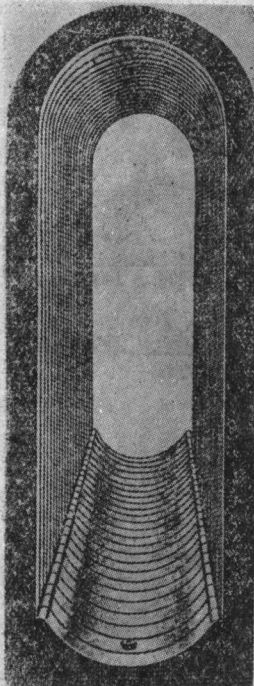


图 22 一真空室节段的内景

这里所描述的同步加速器部件都已准备好，真空系統亦已裝置好。束線的研究将在数週內开始。

§ 7. 机器的現况

我們的科学研究計劃应与目前在美国进行中的同类机器并无太
大差別，为了更确定地描述其特性的相同，我們要在此強調我們机器
的一些細节。

所选择的注射器和聚焦型式是假設能容許高密度的迴旋束而且
柯克洛夫脱-华尔街加速器的容量大于商售范德格拉夫加速器。在
光生产上的最近实验結果是高强度束線必要性的明显的証明。

在我們实验室的一般可能性之中，我們將提及液态 H₂ 和 He 的
生产，我們的工厂預期能供应 8 升/时。图 24 表示这工厂的部分外
观。

利用液化来发展冷却的研究被看作是同样地方便的。卡来立

(Careri)博士的团体所获得的关于 He³ 在 He⁴ 中的扩散的結果即
将发表。

建造分析磁鐵需要长的时间。一组这样的磁鐵现正在制造中。它包括：用于約 20000 高斯的最大磁場的一对分光計，它是量度 γ 射綫束的强度和动量分布时需用的；具有可更換的磁极的两个分析磁鐵(不是平行于間隙即是強聚焦)。最大磁場 16000 高斯，重約 20 吨；标准四极透鏡。

在我們将来的研究中所取的可能方向之中，我們將提出下列方向：

1) 光子轉化成 π 介子。最近的結果表明，关于 π 介子的单的和双的光生成方面的研究所表示出的巨大兴趣，这种生产是在中等和高能量(从 500—1000 兆电子伏)时发生，該处新的諧振可以存在¹⁾。从羅馬大学來的一个团体准备着关于单光生产方面的計數管加磁鐵的实验²⁾，其中

1) Wilson, R. preprints and private Communications from the Laboratories of Nuclear Studies of the Cornell University.

2) Experiments in project with the Electronsynchrotron. Report of the Frascati Laboratories.

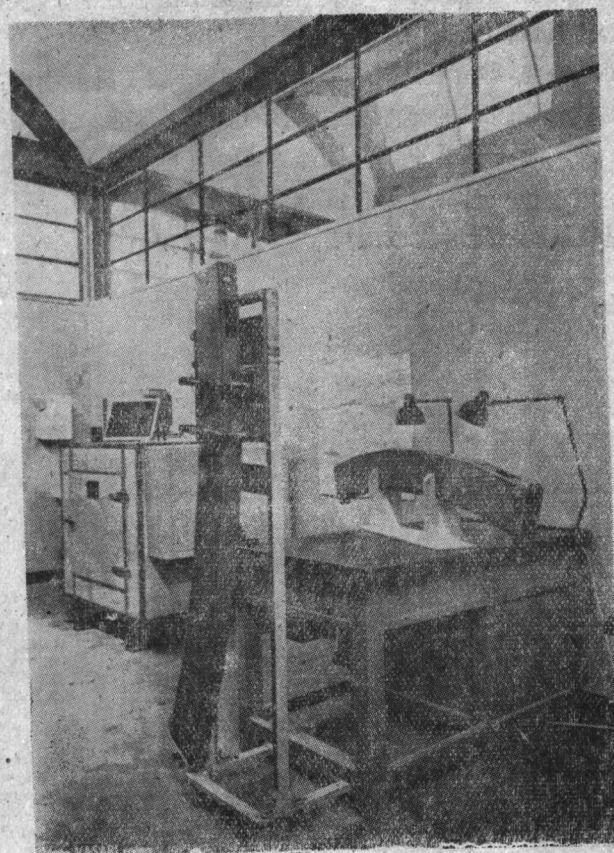


图 23 两个真空室段

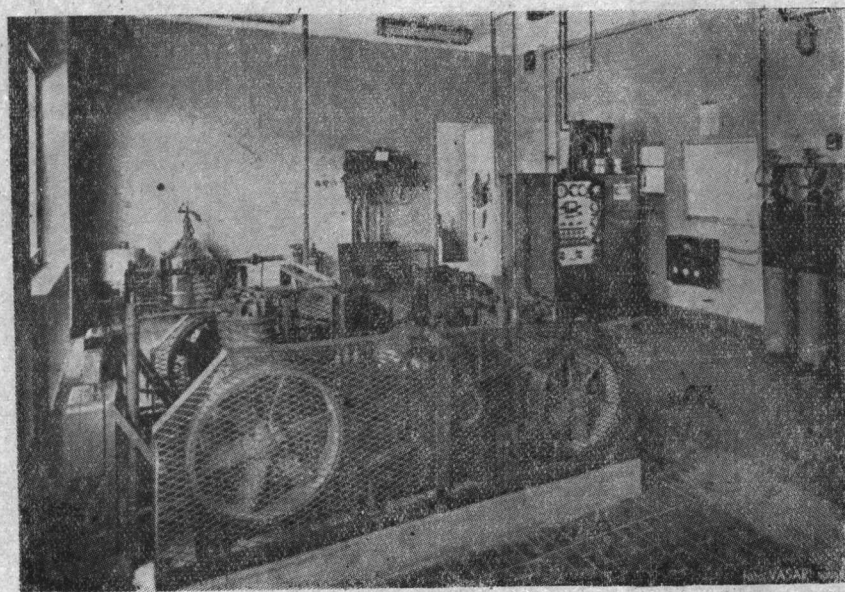
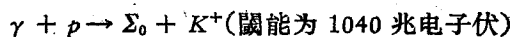
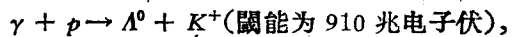


图 24 冷却实验室(部分景象)

包含契連柯夫(Черенков)气体計數管。一个气泡室現正在制造中,以便能应用于 π 介子双生成的研究中及在一般多次过程中。

2) 核子结构方面的研究,建立在近光子-核子及电子-核子碰撞中电磁截面的研究上。

3) K 粒子的光生成。我們的机器将发生足够的能量来量度



两反应(在上述两过程的阈能附近的区域内)。

(陸鍾枯譯)